

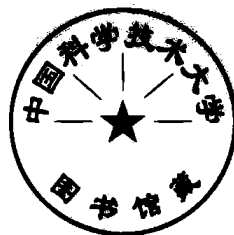
汽 轮 机 调 节

〔苏联〕 A. B. 雪格里雅耶夫 C. Г. 斯密尔尼茨基著

上海科学技术出版社

汽 轮 机 调 节

〔苏联〕 A. B. 雪格里雅耶夫 著
C. Г. 斯密尔尼茨基



上海科学技 术出版社

内 容 提 要

本书研究了汽輪机調节的靜态特性和动态过程，列出了調节系統各元件的运动微分方程以及这些方程組的积分。此外，还研究了供热式和凝汽式汽輪机調节系統中各元件的結構。

本书可作为高等院校热能动力与动力机械制造专业的教学用书，也可供汽輪机制造厂的設計人員和热电厂的运行技术人員参考。

РЕГУЛИРОВАНИЕ ПАРОВЫХ ТУРБИН

А. В. Щегляев, С. Г. Смельницкий

Госэнергоиздат · 1962

汽 轮 机 调 节

上海科学技术出版社出版 (上海瑞金二路 450 号)
上海市书刊出版业营业許可證出 093 号

商务印书館上海厂印刷 新华书店上海发行所发行

开本 787×1092 1/18 印张 15 插页 10 拼版字数 408,000
1965年3月第1版 1965年3月第1次印刷
印数 1—5,000

统一书号 15119·326 定价(科六) 2.20 元

原序

这本书是在莫斯科动力学院动力机械制造系讲授“汽輪机調節”这門課程的基础上写成的。

第一章里，概要地介绍了汽輪机調節的基本概念，以及汽輪机并列或单独运行时的調節特点，并研究了最简单的調節、供油和保安系統。此外，还导出了調節对象方程。这一章可以帮助讀者了解有关汽輪机調節的一些基本概念。随后各章分別詳細地討論了調節系統各元件的性能，列出它們的运动方程，分析在稳定或过渡工况下系統的工作。通过这些分析，可以选定各時間常数，并进行調節元件的結構計算。

本书的闡述层次，基本上是重复了 1938 年出版的雪格里雅耶夫 (A. B. Щегляев) 的同名著作 [参考文献 41]，并可看成是該书的修訂本。新版书把汽輪机变动工况一章完全刪去，因为这个問題在汽輪机原理課中研究配汽計算时，必定要討論它。近来，汽輪机調節系統和供油系統已紧密联系在一起了，因而把后者单独写成一章。此外，有关汽輪机保安装置的結構原理也另立一章。由于中間再热式汽輪机已广泛采用，在本书里也对該类型汽輪机的若干調節問題进行了研究。

本书第一版中的插图大都采用外国的調節系統图例，在本版中的图例，除了最基本的以外，都取自苏联国内运行的典型結構。在苏联汽輪机調節系統的发展过程中，全苏热工研究所 (ВТИ) 的蒸汽与燃气輪机研究部門 (液动調節系統)、和莫斯科动力学院 (МЭИ) 的蒸汽与燃气輪机教研室的貢献起了重要作用。МЭИ 运用了控制大功率汽輪机的高速彈性調速器。編写本书时，很多有关問題都采用这些单位的試驗結果。

汽輪机教研室斯密尔尼茨基 (С. Г. Смельницкий) 讲师編写本书的第四章，雪格里雅耶夫教授編写其余各章，并审閱全书。其中許多图例及計算示例系教研室研究生布尔金 (А. Е. Булкин) 所作。

不少汽輪机制造厂的設計部門，为本书提供了各自制造的汽輪机調節系統的丰富和宝贵的資料，作者謹向他們致以热誠的謝意。

作者

簡 称 表

ВТИ——以 Ф. Э. 捷尔仁斯基命名的全苏热工研究所

КТЗ——卡卢加汽輪机厂

ЛМЗ——列宁格勒金属工厂

МЭИ——莫斯科动力学院

НЭЛ——以 В. И. 列宁命名的涅夫斯基(涅瓦)机器制造厂

ТМЗ——汽輪机厂

ХТГЗ——以 С. М. 基洛夫命名的哈尔科夫汽輪机厂

ЦКТЗ——以 И. И. 波尔祖諾夫命名的中央鍋炉汽輪机研究所

目 录

原 序

第一章 調節任务及基本概念	1
1-1 基本概念	1
1-2 汽輪機調速原理	3
1-3 汽輪機轉速變換裝置(同步器)	7
1-4 調節系統实例	10
1-5 發電機并列運行時的調節	13
1-6 汽輪機調節靜態特性線的合理 形狀	15
1-7 調節不靈敏度	16
1-8 調節系統的靜態設計基礎	17
1-9 汽輪機調節的過渡過程	18
1-10 汽輪機保安裝置	20
1-11 蒸汽壓力的調節	21
第二章 汽輪機調節閥門	24
2-1 調節閥門的結構	24
2-2 調節閥門通流截面積的確定	29
2-3 調節閥門的型線設計	33
2-4 調節閥門傳動機構的凸輪型線 設計	35
2-5 傳給調節閥門杆的作用力	38
2-6 K-50-90 汽輪機調節閥門和配汽機構 的計算實例	41
第三章 調節系統的伺服機和滑閥	48
3-1 具有斷流滑閥和往復運動活塞的 雙面式伺服機	48
3-2 具有斷流滑閥的單面式伺服機	53
3-3 旋轉活塞式伺服機	54
3-4 具有繼流滑閥與變脈沖油壓的伺 服機	56
3-5 脄沖油壓和繼流滑閥通流截面之 間的關係	59
3-6 滑閥套筒上油窗型線的設計	60
3-7 具有繼流滑閥並且脄沖油壓恒定 的伺服機	62

3-8 調節系統中的液壓遮斷	64
3-9 作用在滑閥上的力及其平衡法	67
3-10 具有斷流滑閥的伺服機活塞運動 方程	72
3-11 伺服機旋轉活塞的運動方程	75
3-12 滑閥的運動方程	76
3-13 具有繼流滑閥的伺服機活塞運動 方程	78

第四章 汽輪機調節器

4-1 离心調速器	84
4-2 調速器的不靈敏度	87
4-3 調速器內橫向彈簧本身離心力的 影響	89
4-4 調速器的運動方程	91
4-5 調速器的固有振動頻率	92
4-6 离心調速器構造實例	93
4-7 調速器計算實例	99
4-8 調壓器	100
4-9 調壓器的構造實例	103
4-10 液壓調速器	107
4-11 加速度調節器	109
4-12 以速度和加速度作衝量的調節	110
4-13 汽輪機調節系統的微分器	113
4-14 等值調節器	115

第五章 汽輪機的供油

5-1 供油系統	119
5-2 汽輪機油泵	122
5-3 油系統中的射油器	128
5-4 油減壓閥和逆止閥	130
5-5 油箱	133

第六章 調節的過渡過程

6-1 只有一級放大的汽輪機調速 系統	138
6-2 兩級放大的汽輪機調速系統	144

6-3	有关解描写调节过渡过程的方程 组的若干说明	149	10-1	抽汽式汽轮机的调节原理	209
6-4	调节系统的稳定性条件	157	10-2	选择符合自整条件的传动比	213
6-5	蒸汽容积对调节过程的影响	160	10-3	位置图	215
6-6	以速度(转速)和加速度作冲量的 调节	161	10-4	抽汽式汽轮机的液动调节	217
6-7	等值调节	166	10-5	一次抽汽式汽轮机的调节稳定 性	221
第七章	凝汽式汽轮机的调节和供 油系统实例	168	10-6	两次抽汽式汽轮机的调节	223
7-1	KT3 汽轮机的调节	168	10-7	两次抽汽式汽轮机调节系统的 位置图	227
7-2	JIM3 高压系列汽轮机的调节	169	10-8	抽汽式背压汽轮机的调节	229
7-3	ЛМЗ К-100-90-2 汽轮机的 МЭИ 调节系统	170	第十一章 中间抽汽式汽轮机的调 节系统实例	232	
7-4	ЛМЗ К-100-90-6 汽轮机的 调节	174	11-1	JIM3 T-25-90 汽轮机的调节	232
7-5	ХТГ3 К-100-90 汽轮机的 调节	176	11-2	BBC 汽轮机的调节	235
7-6	凝汽式汽轮机调节系统的计算 实例	177	11-3	布梁斯基工厂 ПТ-12-35 汽轮机 的调节	237
第八章 中间再热式汽轮机的调节	183	11-4	KT3 ПТ-12-35 汽轮机的调节	238	
8-1	中间再热式汽轮机的特点	183	11-5	乌拉尔汽轮机厂 ПТ-25-90 汽轮 机的调节	240
8-2	中间再热式汽轮机的调节系统 实例	186	11-6	ЛМЗ ПТ-50-130 汽轮机的调 节	243
8-3	中间再热式汽轮机的调节稳定 性	192	第十二章 汽轮机的保安装置	247	
第九章 背压式汽轮机的调节	197	12-1	保安装置的任务	247	
9-1	背压式汽轮机的工作特点	197	12-2	超速保安装置	248
9-2	背压式汽轮机调节的过渡过程	200	12-3	JIM3 K-100-90-6 汽轮机的保安 装置设计	254
9-3	背压式汽轮机调节系统实例	206	12-4	轴向位移传感器	257
第十章 中间抽汽式汽轮机的调节	209	12-5	汽轮机装置的辅助调节器	259	
参考文献			参考文献	261	
附录			附录	264	

第一章 調節任务及基本概念

1-1 基本概念

汽輪机运行状态应满足和从动机器工作条件有关的一系列要求。例如，若汽輪机拖动交流发电机，则交流电的頻率应保持不变，也就是即使供电負荷发生变化而汽輪机的轉速不应改变。如果它拖动的是高炉鼓风机，为要使送进高炉的风量保持不变，就要改变汽輪机的轉速。假使汽輪机既拖动发电机又要供热，这时，在保持供电頻率不变的同时，还須使送往热用户去的蒸汽压力保持不变。

为了实现上述要求，汽輪机就要配备調節系統。

从下述拖动发电机的汽輪机轉速調節例子里，我們能清楚地看到調節系統要完成的任务。

图 1-1 上表示汽輪机中由蒸汽流产生的轉矩和轉速之間的关系曲線。每条曲線都对应着不变的进汽量。当进汽量增加时， M_r 線就往上轉，而且变得更陡了。在图 1-1 中， M_r 曲線表示在不同負荷下发电机軸上的轉矩。

現在考察由 M_{ra} 和 M_{re} 曲線交点所决定的汽輪机工况点 a 。若切断用电装置，使发电机特性改变到 M_{rd} 曲線上，这时通过汽輪机的蒸汽量若不改变，汽輪机和发电机間的新平衡将处于 b 点上。由此可见，在这种情况下，即使这一汽輪发电机組沒有任何自动控制設備，它也可以从一个稳定工况过渡到另一个稳定工况。这种能过渡到新稳定工况的本能称为自調節。它被制定于这样一个特性：即，在轉速升高时，汽輪机轉矩下降，而由发电机負荷所制定的轉矩却增加。

不难看出，在自調節的过程中，汽輪机轉速变化很大，从而使发电机电流的頻率和汽輪机效率也起了很大的变化，这是不能容許的。

因此，在发电机負荷变化时，为了使汽輪发电机組的轉速不变，或近于不变，就应改变通过汽輪机的蒸汽量。例如，当发电机轉矩特性从 M_{ra} 变到 M_{rd} 曲線上，就应同时改变通过汽輪机的蒸汽量，使得汽輪机轉矩特性也从 M_{ra} 变到 M_{rd} 曲線上。这时新平衡位置应处于 c 点，它的轉速和 a 点的轉速差別不大。用自动改变进汽量办法，使在轉速变化不大的条件下达到新平衡，这就是調速系統的任务。

用符号 I [公斤·米·秒²] 表示汽輪发电机轉子的轉动慣量， ω [1/秒] 表示旋轉角速度。汽輪发电机轉子的运动方程可写成：

$$I \frac{d\omega}{dt} = M_r - M_e. \quad (1-1)$$

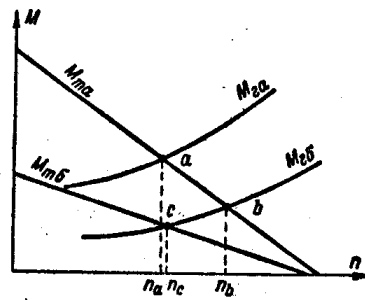


图 1-1 汽輪机和发电机轉矩特性

改变一下上式。以(ω)表示在汽輪机負荷稳定时的角速度, $\Delta\omega$ 表示从一个稳定工况到另一工况 $\omega = (\omega) + \Delta\omega$ 时的角速度偏差值。

此时显然,

$$\frac{d\omega}{dt} = \frac{d(\Delta\omega)}{dt}.$$

还应指出, 在稳定状态的条件下, 满足等式 $(M_r) - (M_r) = 0$, 从(1-1)中把它减去, 可得:

$$I \frac{d(\Delta\omega)}{dt} = \Delta M_r - \Delta M_r, \quad (1-2)$$

其中 ΔM_r 和 ΔM_r 表示在过渡过程里, 汽輪机、发电机轉矩相对于稳定工况下的轉矩的偏差值。

把方程(1-2)的等式两边, 除以汽輪机額定功率下的轉矩 M_0 后, 即得:

$$I \frac{\omega_0}{M_0 \omega_0} \frac{d(\Delta\omega)}{dt} = \frac{\Delta M_r}{M_0} - \frac{\Delta M_r}{M_0}.$$

乘积 $I \frac{\omega_0}{M_0}$ 的因次是时间, 以符号

$$T_v = I \frac{\omega_0}{M_0} \quad (1-3)$$

表示, 并称之为汽輪机全飞升時間*。此外, 以 $\psi = \frac{\Delta n}{n_0} = \frac{\Delta\omega}{\omega_0}$ 表示角速度(或轉速)的相对偏差值。从而汽輪机轉子的运动方程可以表达成下式:

$$T_v \frac{d\psi}{dt} = \frac{\Delta M_r}{M_0} - \frac{\Delta M_r}{M_0}. \quad (1-4)$$

汽輪机軸上的轉矩可用每小时蒸汽流量 D [公斤/小时]、热降 $H_{0\eta_{oe}}$ [大卡/公斤] 和轉速 n [轉/分] 表达为等式:

$$M_r = 1.13 \frac{D H_{0\eta_{oe}}}{n} [\text{公斤}\cdot\text{米}]. \quad (1-5)$$

假如, 从一个稳定工况到另一个稳定工况的过渡过程中, 轉矩偏差 ΔM_r 不大, 那末可以认为, 可用热降 $H_{0\eta_{oe}}$ 在过渡过程中保持不变。这时汽輪机轉矩偏差可表示为:

$$\begin{aligned} \Delta M_r &= \frac{\partial M_r}{\partial D} \Delta D + \frac{\partial M_r}{\partial n} \Delta n \\ &= \frac{1.13 H_{0\eta_{oe}}}{n} \Delta D - \frac{1.13 D H_{0\eta_{oe}}}{n^2} \Delta n. \end{aligned}$$

上式可改变为:

$$\Delta M_r = \frac{1.13 H_{0\eta_{oe}} D_0}{n} \left(\frac{\Delta D}{D_0} - \frac{D}{D_0} \frac{\Delta n}{n} \right) = M_0 \left(\frac{\Delta D}{D_0} - \frac{D}{D_0} \frac{\Delta n}{n} \right)$$

或

$$\frac{\Delta M_r}{M_0} = \frac{\Delta D}{D_0} - \frac{D}{D_0} \frac{\Delta n}{n}.$$

* 不少文献称为汽輪机全飞升時間常数。——譯注

其次用 $\zeta = \frac{4D}{D_0}$ 表示蒸汽流量的相对偏差， $\lambda = \frac{D}{D_0}$ 表示汽輪机的蒸汽流量比，并假定 $n = n_0$ 。代入方程(1-4)后可得：

$$T_\psi \psi' = \zeta - \lambda \psi - \frac{\Delta M_r}{M_0}。 \quad (1-6)$$

发电机轉矩一般和角速度有关系 $M_r = f(n)$ (图 1-1)，因而可写成：

$$\Delta M_r = \frac{\partial M_r}{\partial n} \Delta n。$$

但是，在大多数情况下 M_r 和 n 的关系不能准确地确定。因为，它取决于电用户（被带动的机器）的特性，后者为取用发电机电流的电动机所带动。例如，若用户是电动机带动水泵，则由汽輪机和这些电动机共同制定的轉矩将同轉速的平方成正比。若带动的是金属切削机床，相应的轉矩将与轉速 n 成正比。若发电机負荷是照明，該发电机轉矩将同汽輪发电机的轉速或頻率无关。既然在大多数情况下发电机用户不尽一致， $M_r = f(n)$ 的关系是不确定的。由于估計困难，通常可忽略 ΔM_r 的影响，于是式(1-6)可表达为：

$$T_\psi \psi' = \zeta - \lambda \psi。 \quad (1-7)$$

应当注意，偏差值 ψ 一般較偏差值 ζ 要小。在大多数情况下，允許在式(1-7)中把第二項略去，也就是把自調節的作用略去。簡化上式后，可得：

$$T_\psi \psi' = \zeta。 \quad (1-8)$$

上述簡化的依据，不仅是由于轉速对轉矩大小影响較小，而且在这种情况下，抛开和轉速有关的項，即忽略自調節的作用，只是使汽輪机調節系統任务更为繁重些，但在以后的設計計算中却加大了其可靠性的裕量。

以上分析的結果表明：当汽輪机蒸汽流量和相应于发电机負荷的需用蒸汽流量之間存在着偏差时，就引起汽輪机和发电机轉子的加速。从而可指出，每当平衡破坏时（例如，在电网中并入或切开电用户时，总之，是在电用户改变了发电机負荷时），为了使发电机和汽輪机間达到新的平衡，都应自动地改变蒸汽流量。

因此，汽輪机調速系統应由以下机构組成：其一是測量（感应）机组轉速的机构，另一是用閥門来調節汽輪机进汽的机构。以便当汽輪机和发电机間轉矩平衡被破坏时恢复这种平衡，并使机组轉速維持在額定水平上。应当指出，按大多数用户的工艺条件，是允許轉速在預定的范围里有不大的偏差的。

1-2 汽輪机調速原理

在蒸汽机里瓦特首先采用了速度的自動調節，在汽輪机里这种离心調速器也得到广泛采用，它用来控制汽輪机的进汽量。

这种机构的最简单原理图表示在图 1-2 上。由汽輪机軸带动的离心調速器滑环和具有支点 c 的杠杆 AB 在 A 点处系接。用来調節汽輪机进汽的閥門套挂在杠杆的另一端 B 处。离心調速器应当考虑使其滑环的全部工作行程 x_0 ，能够滿足在汽輪机轉速从 n_1 改变到 n_2 极限值时，閥門从全开位置到空負荷位置所需要的行程 z_0 。

图 1-3 的四象限图表示了汽輪机轉速、調速器滑环行程、調節閥門行程以及汽輪机

功率之間的相互關係。四象限圖的左上方曲線 aa 是表示轉速和滑環行程之間的關係（為了增加比例尺，汽輪機轉速不是從零算起，而是從很接近於額定轉速 n_0 的某一恒定值 n_a 算起）。該曲線特性決定於調速器結構，而這種結構的選擇應該使得當轉速升高時，滑環逐漸向上移動（按圖 1-2），並使從 n_1 到 n_2 范圍內的任一轉速都能處於穩定的平衡狀態。

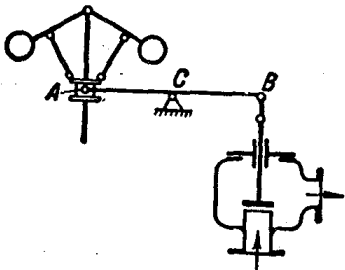


圖 1-2 直接調節原理圖

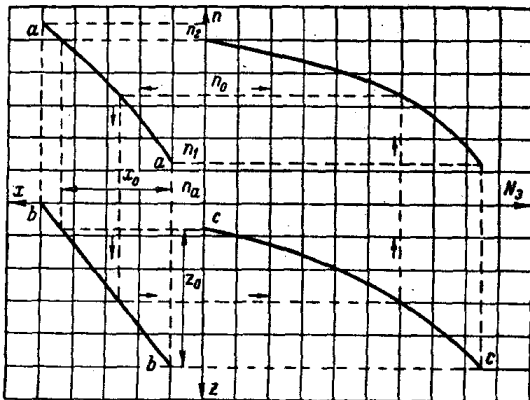


圖 1-3 調節靜態特性曲線的繪制

調速器滑環位置單值地確定調節閥門位置，如圖所示，當轉速升高滑環上移時，閥門應關小進入汽輪機的蒸汽通路。圖 1-3 四象限圖的左下方曲線 bb 就表示了滑環行程和調節閥門開度之間的關係。

汽輪機功率和調節閥門開度之間也存在着函數關係（在蒸汽參數不變時是單值關係）。這種關係是由進氣量變化引起的，並且可以通過汽輪機變動工況計算來確定。此外，汽輪機功率和閥門開度之間的關係曲線還取決於閥門型線，即通流截面的開度和閥門升程間的變化規律。圖 1-3 四象限圖的右下方曲線 cc 就是表示閥門行程和汽輪機功率之間的關係。

從原有的曲線，在引上如圖所示的虛線後，可得出四象限圖右上方的汽輪機功率和轉速之間的關係曲線。這條曲線我們稱之為調節靜態特性曲線。這種曲線無論對單機運行或是在電網里並列運行的汽輪機組都具有重大意義。正如圖 1-3 中的靜態特性曲線所示那樣，隨著汽輪機負荷的增加轉速是有些下降的。靜態特性曲線應該是單值的，每一轉速只對應於一個可能的功率。

當汽輪機功率從零變到全負荷時，轉速的變化範圍 $n_2 \rightarrow n_1$ 應予限制。用平均轉速 $n_c = \frac{n_2 + n_1}{2}$ 的百分數來表示的轉速差值，稱之為調節不均勻程度，或簡稱為調節不等率*，

$$\delta_c = \frac{n_2 - n_1}{n_c} \quad (1-9)$$

更合適的方式，是採用轉速的最大偏差 $n_2 - n_1$ 與額定轉速 n_0 之比 δ 來表示調節不等率，這時：

$$\delta = \frac{n_2 - n_1}{n_0} \quad (1-10)$$

在現代汽輪機中，調節不等率一般是採用 $\delta = 3.5\% - 6.0\%$ ，更常選取 $4.5\% - 5.5\%$

* 也稱調節變動率或調節不均度。——校註

(以后我們將用“不等率”來表示調節參數靜態變化與其額定值的比值)。

運用不等率表示式可把汽輪機方程(1-7)改變成下式：

$$\delta T_\varphi \frac{\psi'}{\delta} = \zeta - \lambda \delta \frac{\psi}{\delta}.$$

注意到 $\frac{\psi}{\delta} = \frac{\Delta\omega}{\delta\omega_0}$, 并令 $\varphi = \frac{\Delta\omega}{\delta\omega_0}$, $\delta T_\varphi = T_\varphi$, 代入上式後, 可得：

$$T_\varphi \varphi' = \zeta - \lambda \delta \varphi. \quad (1-11)$$

其中 φ 表示汽輪機轉速偏差相對於由不等率所制定的轉速最大偏差 $n_2 - n_1 = \delta n_0$ 的百分率。 T_φ 是表示在不等值區域內的汽輪機飛升時間。

在研究汽輪機調速時，通常允許忽略自調節的影響（因為 δ 值很小）。因此汽輪機方程可以簡化為：

$$T_\varphi \varphi' = \zeta. \quad (1-12)$$

轉速在不等率範圍內變化時，調速器的工作能力是不大的，而且在大多數情況下不足以移置調節閥門。因此，在汽輪機中，除了功率很小的汽輪機外，上述的直接調節系統很少被採用。

為了移置大功率汽輪機的調節閥門，在離心調速器和閥門之間，必須接入放大環節。

單級放大是這種環節的最簡單范例。它的原理表示在圖 1-4 上。圓柱形滑閥和調速器滑環相聯繫。滑閥操縱伺服機油缸上部或下部的供油，和汽輪機配汽閥相聯繫的伺服機活塞在油缸內移動。這活塞杆直接接在滑閥和調速器滑環的杠杆一端。當轉速增加調速器滑環上升時，滑閥離開中間位置並上移，來自油泵的油經滑閥中間油窗開始進到伺服機油缸的上油室，同時處於油缸下油室的油也能通過滑閥套筒溢出。伺服機活塞往下移動，並關小調節閥門。在這同時活塞杆帶動滑閥下移，並使它恢復到中間位置。顯然，當滑閥回到中間位置遮斷進入伺服機去的油路時，就形成了新的平衡。當轉速降低時，調節過程是和上述方向相反，也即伺服機活塞上移加大調節閥門開度，並相應增加汽輪機功率。

在圖 1-4 和以後的一些原理圖中，都只表示伺服機活塞杆和一個閥門相接，而這只是象徵性的。應當注意，在實際裝置中，跟活塞杆相聯繫的配汽機構，可以由任意多個閥門組成。

滑閥和能使它恢復到中間位置的活塞杆的聯繫，稱之為反饋或遮斷。滑閥的復位過程也稱為滑閥遮斷過程，為了保證穩定性必須遮斷在調速系統中的滑閥。事實上，活塞杆若不能使滑閥恢復到中間位置，汽輪機功率的變化要大大超過發電機負荷的改變。例如，由於轉速的下降會使汽輪機功率大大改變，引起汽輪機轉速過份地升高而形成了轉速另一次偏差，使得轉速在平均值附近發生不衰減的擺動。轉速變化和調節系統運動的不衰減過程是不能容許的，在系統中加入遮斷器可以達到調節過程的穩定。遮斷

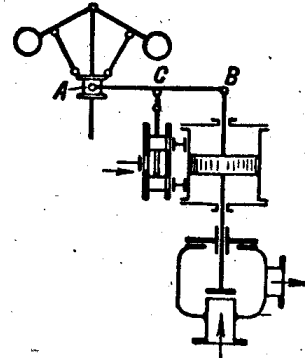


圖 1-4 一級放大的調節系統簡圖

器是服从調速器发出来的信号，并在完成这个信号（指移动調節閥門）的同时，借助遮断滑閥，来消除該信号^①。在沒有反饋时調速不等率就等于零， $\delta=0$ ，这将导致不稳定的調節過程。

应当指出，在所有平衡状态下滑閥都处于中間位置，也即杠杆AB上的C点始終都处于同一位置上。因此，对于所有靜态工况，C点可以看成是杠杆的固定支点。所以，如同直接式調節一样，伺服机活塞行程 z 和調速器滑环行程 x 之間仍然存在单值关系，它在图1-4系統上还是体现为線性的关系。在具有伺服机的調節系統中，各調節元件变量之間的关系，以及轉速和功率之間的关系仍和直接調節系統一样。因此，图1-3上直接調節系統的靜态特性四象限图，对于具有伺服机操纵調節閥的調節系統，仍然适用。

选择足够大的工作油压和伺服机油缸尺寸，可以保証为可靠地控制調節閥提供所必要的操纵力。甚至在調節閥門上作用着很大的外力时，也能可靠地操纵它。

在大功率高参数的汽輪机里，单个伺服机油缸的尺寸和油量就要很大，滑閥尺寸也要相应增大。这时滑閥就不能完全消除油流形成的流体作用力。在一些汽輪机里調速器沒有能力移动大型的主伺服机滑閥。在这种条件下就須采用依次串接的兩級放大系統。在图1-5上表示这种調節系統的一种布置方式。在調速器和調節閥之間的放大环节是由两个依次串联的伺服机組成。其中离心調速器只操纵第一放大环节伺服机的輕型滑閥，而伺服机1的活塞带动主伺服机2的大滑閥。同上述情况一样，每个滑閥都依靠自己的伺服机活塞杆恢复到中間位置上（遮断）。

应当指出，两个滑閥悬挂点在所有稳定状态下均处于同一位置上。因而又得出結論：兩級放大調節系統靜态特性曲綫，仍和用于直接調節的图1-3上曲綫完全一样。

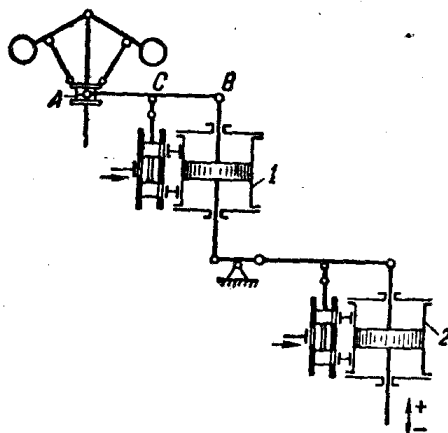


图1-5 由同級伺服机遮断滑閥的兩級放大調節系統簡圖

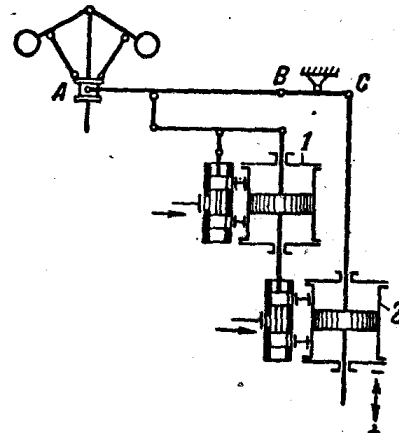


图1-6 由第一、第二伺服机遮断第一滑閥的兩級放大調節系統簡圖

另一种也能满足稳定調節的兩級放大調節系統表示在图1-6上。其中第二伺服机即主伺服机滑閥，是直接悬挂在第一伺服机的活塞杆上。但不为自身的伺服机活塞杆所遮断。主伺服机活塞杆和杠杆BC相連，BC又和杠杆AB相連，AB可带动第一伺服机滑閥动作。由此可見，第一伺服机滑閥同时由第一以及第二伺服机活塞杆来遮断。

^① 調節系統工作穩定性的必要条件将在第六章里加以研究。

发展上述原理，在調節系統中不難建立三個或更多的放大環節。以後將要指出，由於各種原因許多汽輪機採用了三級或甚至是四級的放大環節，它們均被接入於調速器和調節閥門之間。為了逐級增大串聯伺服機功率，也即從接受調速器信號的第一伺服機的最小功率增加到操縱調節閥門的主伺服機的最大功率，就需要接入這些放大環節。

所有調節系統不管它放大環節有多少，它們的靜態特性曲線都和圖1-3相同。

在圖1-4和1-5的原理圖中，放大環節由滑閥操縱的伺服機組成。當滑閥處於中間位置時完全遮斷進入伺服機油缸的油流。這種滑閥稱之為斷流滑閥。滑閥的懸挂以及它和調速器滑環、遮斷機構的聯繫是依靠杠杆來實現的，因此這類系統被稱為杠杆聯繫式調節系統。

既然斷流滑閥是由調速器滑環來帶動，同時又由伺服機活塞杆來遮斷，要使懸掛滑閥的杠杆機構有限定的尺寸，則在採用杠杆聯繫式調節系統時，伺服機位置要盡量接近調速器。而這種要求從結構觀點來看往往是不容易滿足的。

在這方面，採用液動傳動更為有利。圖1-7為液動系統的兩級放大調節原理圖，其中第一個環節採用繼流式液力傳動。離心調速器和繼流滑閥1相連，後者改變油窗開度 f_x ，從而控制脈沖油路中的油壓 p_x 。在這裡，脈沖油路和第一放大環節里的伺服機2相聯繫。從油泵出來的壓力油通過定截面的節流孔 f_0 後進入脈沖油路。

不難指出（見§3-5），油壓 p_x 和 f_x 具有下式關係：

$$p_x = \frac{p_0}{1 + \left(\frac{f_x}{f_0}\right)^2} \quad (1-13)$$

伺服機2的活塞壓縮彈簧，並且和懸掛主伺服機斷流滑閥3的杠杆相連。當汽輪機轉速提高時，離心調速器滑環移動繼流滑閥，從而增加溢油口 f_x 的開度，並降低脈沖油壓。這時第一放大環節的活塞上移，並帶動斷流滑閥也往上移動，使得主伺服機活塞下降並減小調節閥門開度。在所研究的系統里，第一放大環節的伺服機活塞是依靠彈簧的變形來達到新的平衡的，即彈簧變形是和脈沖油壓的變化相平衡。因此，和具有斷流滑閥的系統不一樣，在該系統中無需遮斷第一放大環節的滑閥。無疑，這種遮斷是通過制定本身伺服機活塞位置的彈簧來實現的。

現代汽輪機已廣泛採用這種調節系統，其中前面的放大環節是採用液動傳動的繼流式滑閥，具有斷流式滑閥的伺服機則只用在後面的放大環節里（參閱第三、七章）。

1-3 汽輪機轉速變換裝置（同步器）

在汽輪機運行時必須保持發電機頻率恒定。同時我們看到，當負荷改變時，汽輪機轉速將按照靜態特性曲線變化，也即負荷減小時轉速升高，負荷增加時轉速則下降。要使負荷改變時轉速仍保持為恒值，就必須在調節系統里預先配備一種附加的裝置，以便

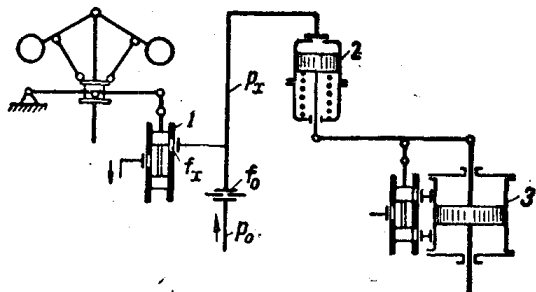


圖1-7 液動調節系統簡圖

在一个狭小范围内随意改变转速，从而在负荷变动很大后也能使汽轮机转速返回额定值上。当发电机并入电网时，要使它们同步也需要装备能任意改变汽轮机转速的装置。因此，以后我们就把改变汽轮机转速的装置称为同步器。

同步器的结构形式较多，但是在杠杆联系的系统中，同步器机构原则上可归纳为两类：

- a) 具有附加弹簧的同步器；
- b) 作用在传动机构上的同步器。

图 1-8 表示具有附加弹簧的同步器。在离心调速器里有主弹簧 1，借其弹簧力与重块的离心力相平衡。在转速改变时，离心力也使附加弹簧 2 变形。

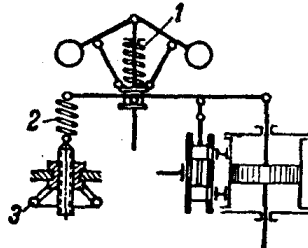


图 1-8 具有附加弹簧的同步器

假定，在确定的两个弹簧预紧力下，调速器滑环行程和转速间的关系，用图 1-9 四象限图第二象限上曲线 aa 来表示。借助手轮 3 可以改变附加弹簧的预紧力。当放松附加弹簧时，要使调速器滑环回复到原先位置，就必须使转速下降才能办到。因而就使得在图 1-9 中调速器滑环行程曲线下移到 bb 曲线位置上。相反，当加紧附加弹簧时，要保持原先的滑环位置，转速就要升高。相应的调速器滑环行程曲线也上移到 cc 曲线位置。

若假定曲线 bb 和 cc 是相应于附加弹簧的最小和最大预紧力，则在图 1-9 右上象限里可绘制相应的、用改变附加弹簧预紧力得以实现的两条调节系统界限静态特性线。显然，处在界限静态特性线 b'b' 和 c'c' 区域里的一切可能点，都相应于附加弹簧预紧力的某个中间值。还要指出，同步器处于不同位置时，调节静态特性线移动不是等距离的，也即差值 $n_{2a} - n_{1a}$, $n_{2b} - n_{1b}$, $n_{2c} - n_{1c}$ 等互不相等。因而调速不等率 $\delta_a = \frac{n_{2a} - n_{1a}}{n_0}$, δ_b , δ_c 等也各不相同。

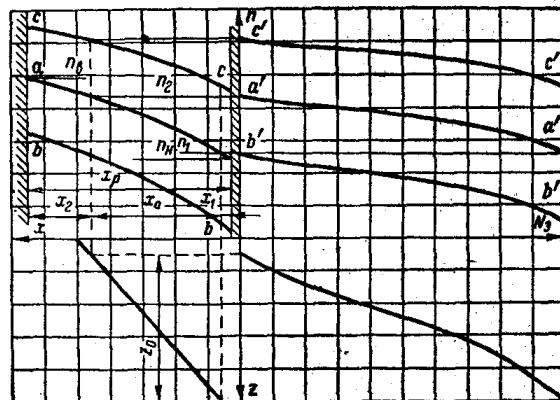


图 1-9 在附加弹簧同步器作用下绘制的调节
静态特性曲线

在所研究的具有附加弹簧的同步器系统中，调速器滑环工作行程是处于相同的结构界限内，该界限可由图 1-9 左上象限斜线的边界划出。调速器全部工作行程 x_p 应于行程 x_0 后面留有裕量 x_2 ，使得在甩负荷时，调速器滑环位移大大地超过全关阀门时伺服机活塞所需的位移，并加速活塞在关阀时的运动过程。调速器滑环的行程裕量应不少于其工作行程的 40%，在降低转速时滑环行程也应留有裕量 x_1 ，它一般取为滑环工作行程的 5~10%。因而：

$$x_p = x_0 + x_1 + x_2. \quad (1-14)$$

如果把调节器不等率 δ_p 理解为当调速器滑环到达上下极限行程位置时的相对转速差，则

$$\delta_p = \frac{n_b - n_h}{n_0} \quad (1-15)$$

或

$$\delta_p = \delta + \zeta_1 + \zeta_2, \quad (1-16)$$

其中

$$\zeta_1 = \frac{n_1 - n_h}{n_0}$$

和

$$\zeta_2 = \frac{n_b - n_2}{n_0}.$$

調節器不等率 δ_p 总是大于調速不等率 δ ，一般取 $\delta_p = (1.5 \sim 1.8)\delta$ 。

在选取附加彈簧的尺寸及其預緊力的可能範圍时，应当保証給予能够調整汽輪机轉速的必要区域。以后将要指出，在空負荷时同步器应使汽輪机的轉速升高值为額定轉速的 7%，而轉速的降低值不应低于額定轉速的 3%。

具有附加彈簧的同步器在长期以来已获得广泛的应用。但是，在現代汽輪机中很少采用这种同步器，因为它会加大不灵敏度。

图 1-10 为具有作用在傳动机构的同步器范例。

其中杠杆 DE 的支点 E ，可以借助于手輪 1 使它垂直地上下移动。随着 E 点位置的改变，即使在不同的轉速即不同的調速器滑环位置，也能获得相同的閥門开度。上述調整轉速的办法表示在图 1-11 的静态特性四象限图中，在那里伺服机活塞行程和滑环行程之間的关系曲綫是沿着 x 軸等距离地移动(参阅图 1-11 的第三象限)。对不同的同步器位置繪制靜态特性曲綫，就能在四象限图的第一象限中找到可以随意改变轉速的区域。从图中不难看出，在这种調節方式中，調速器不等率是由

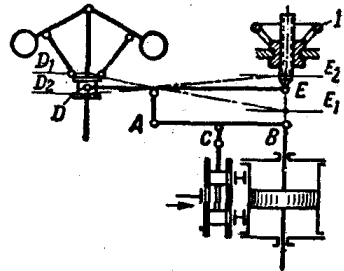


图 1-10 改变杠杆支点的同步器

調速不等率 δ 、可以任意改变轉速的区域 ζ 、以及滑环行程的裕量 ζ_1 和 ζ_2 等迭加而成的，而 ζ_1 与 ζ_2 的总和应不少于調速不等率的 50~80%，因此，

$$\delta_p = \delta + \zeta + \zeta_1 + \zeta_2. \quad (1-17)$$

例如，如果取 $\delta = 5\%$ ， $\zeta = 10\%$ ，則調速器不等率：

$$\delta_p = 1.8 \times 5\% + 10\% = 19\%,$$

即这时离心調速器不等率实际上应取 20%。

在現代汽輪机中，开始采用能使用同步器在很大范围内控制汽輪机轉速

的調速器。对于額定轉速为 3000 轉/分的汽輪机，这种調節系統可使轉速从起動到 3210 轉/分(107%)范围内进行自動調节。汽輪机轉速能在这么大范围内改变，在起動和暖机时是很方便的，允許轉速这样大幅度改变的离心調速器称之为全速調速器。

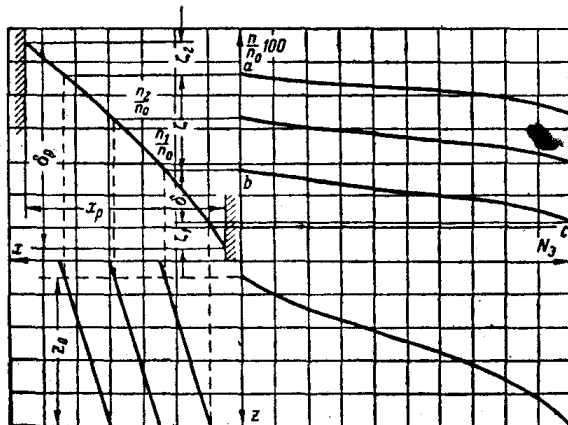


图 1-11 作用于傳动机构的同步器調節静态特性曲綫的繪制

1-4 調節系統实例

現在我們研究几个最简单的調節系統結構实例。

图 1-12 上表示德国 AEG 公司(通用电气公司)制造的中小型汽輪机纵剖面图, 图 1-13 是这种汽輪机在配汽机构处的横剖面图。在汽輪机軸的前端装有用来带动垂直軸的蜗杆, 在垂直軸上安装有离心調速器, 調速器軸的下端和一齒輪油泵相接, 該油泵

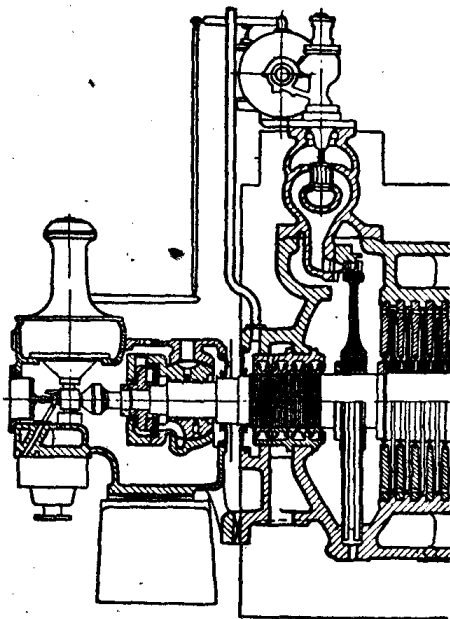


图 1-12 AEG 凝汽式汽輪机的前轴承箱
和配汽机构

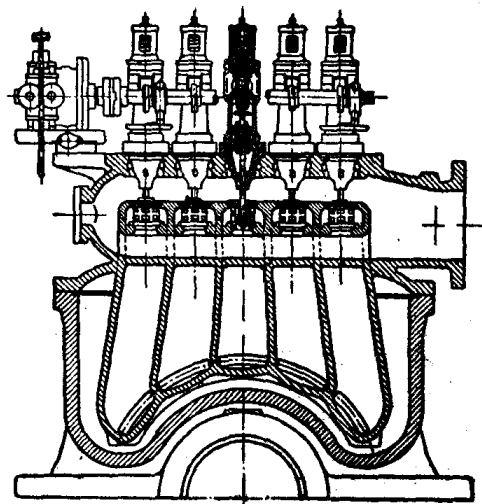


图 1-13 配汽机构横剖面图

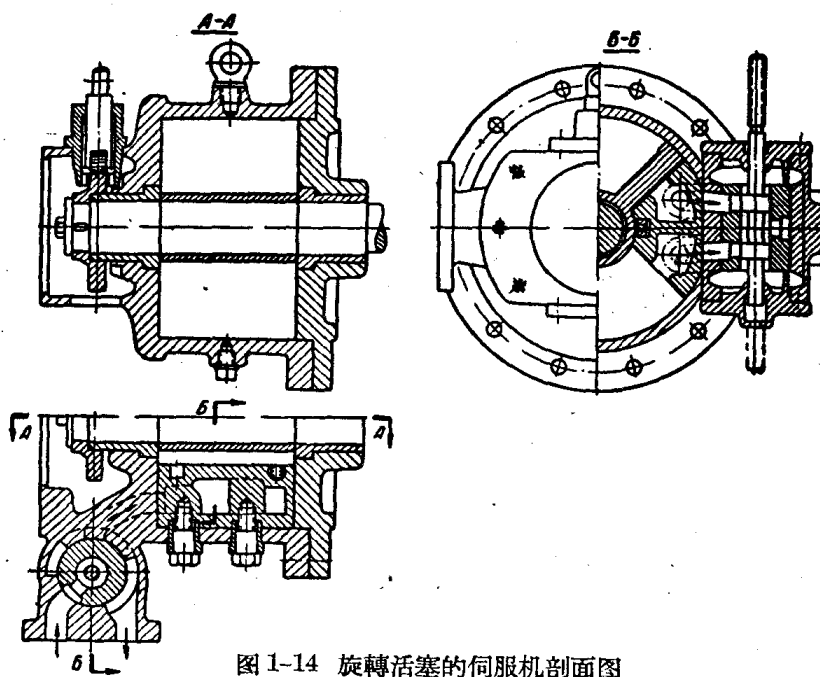


图 1-14 旋转活塞的伺服机剖面图